



# Модели геомагнитного поля в задачах ориентации искусственных спутников Земли

А.В. Пичужкина

*Московский физико-технический институт*

*Научный руководитель:*

Д.С. Ролдугин, к.ф.-м.н.

*Институт прикладной математики им. М.В. Келдыша РАН*

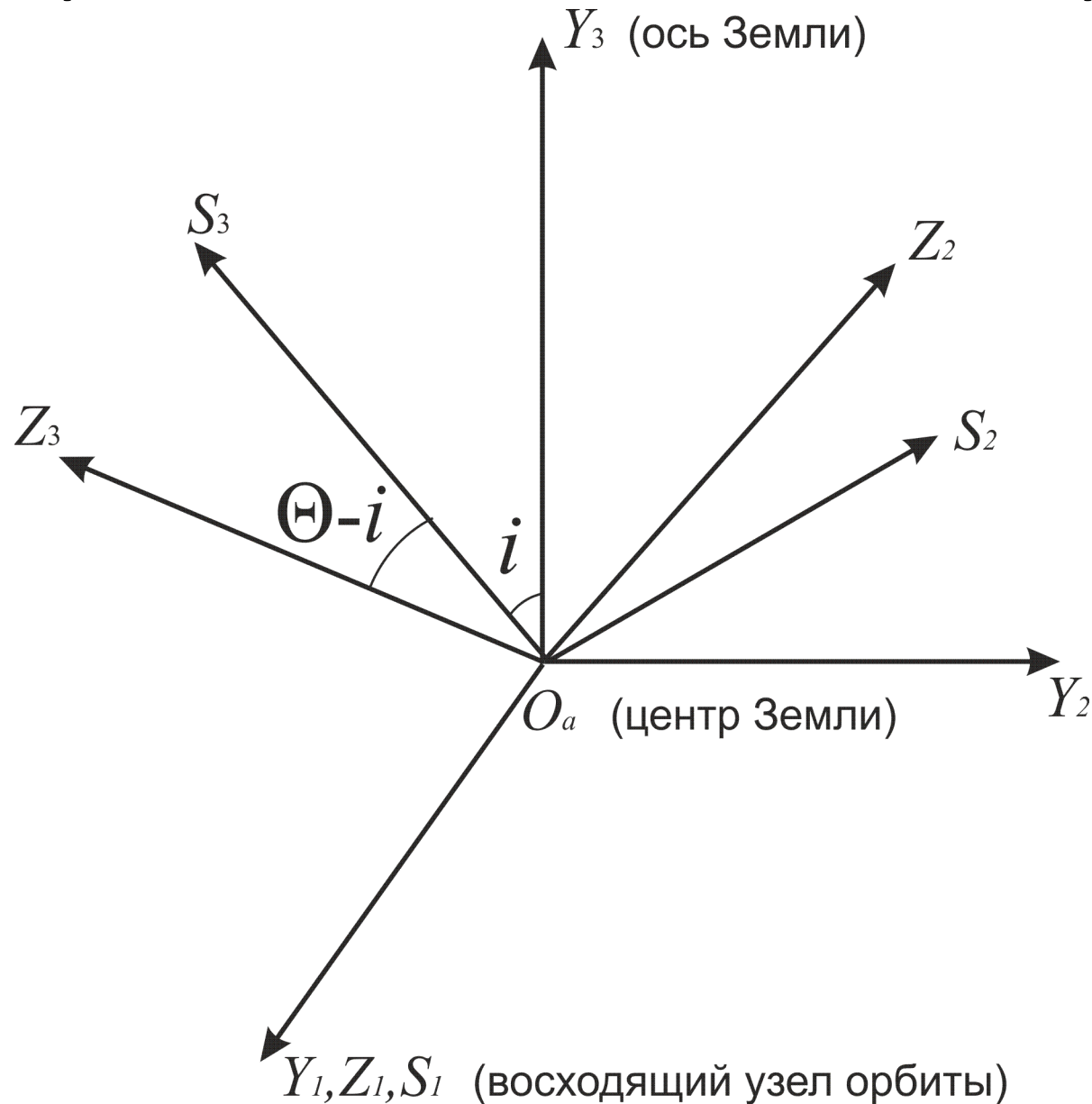
# *Цель работы*

Определить наиболее удобные в разных ситуациях модели геомагнитного поля.

Решаются задачи:

- Описание моделей геомагнитного поля
  - IGRF и WMM
  - Наклонный диполь
  - Прямой диполь
  - Осредненная модель
- Исследование преимуществ различных моделей при проведении аналитических исследований

# Инерциальные системы координат



# Разложение поля в ряд Гаусса: IGRF и WMM

$$V = -R \sum_{i=1}^k \left( \frac{R}{r} \right)^{i+1} \sum_{n=0}^m \left( g_n^m(t) \cos m\lambda_0 + h_n^m(t) \sin m\lambda_0 \right) P_n^m(\cos \vartheta_0), \quad \mathbf{B} = \mu_0 \nabla V$$

$$\mu_0 = 4\pi \cdot 10^{-7} \text{ кг} \cdot \text{м} \cdot \text{А}^{-2} \cdot \text{с}^{-2}$$

$\lambda_0$  – долгота точки, в которой определяется вектор напряженности

$\vartheta_0 = 90^\circ - \theta_0$ ,  $\theta_0$  – ее широта

$r$  – расстояние от центра Земли

$P_n^m$  – квазинормализованные по Шмидту присоединенные функции Лежандра

$R$  – средний радиус Земли

# Дипольная модель

$$\mathbf{B} = \frac{\mu_e}{r^5} \mathbf{k} r^2 - 3 \mathbf{k} r$$

Наклонный диполь:

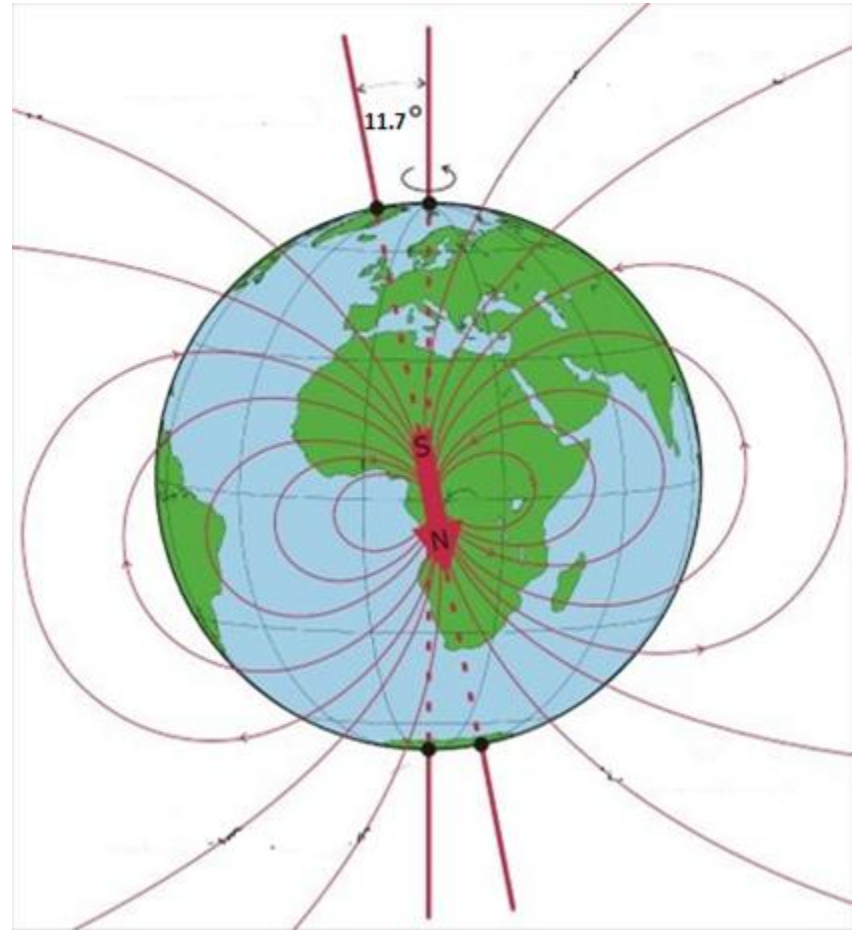
$$\mathbf{k} = \begin{pmatrix} \cos \lambda_0 \sin \delta \\ \sin \lambda_0 \sin \delta \\ \cos \delta \end{pmatrix}^T$$

$$\delta = 168.3^\circ \quad \lambda_0 = -71.88^\circ$$

Прямой диполь:

$$\mathbf{k} = (0, 0, -1)$$

$$\delta = 180^\circ \quad \lambda_0 = 0$$



# Дипольная модель

прямой диполь:

$$\mathbf{V}_{ИСК} = \frac{\mu_e}{r^3} \begin{pmatrix} -1.5 \sin i \sin 2u \\ -1.5 \sin 2i \sin^2 u \\ 1 - 3 \sin^2 i \sin^2 u \end{pmatrix}, \quad \mathbf{V}_{ОСК} = \frac{\mu_e}{r^3} \begin{pmatrix} \cos u \sin i \\ \cos i \\ -2 \sin u \sin i \end{pmatrix}$$

наклонный диполь:

$$\mathbf{V}_{ИСК} = \frac{\mu_e}{r^3} \begin{pmatrix} \sin \lambda \sin \delta - 3\xi \cos u \\ -\cos \lambda \sin \delta - 3\xi \cos i \sin u \\ \cos \delta - 3\xi \sin i \sin u \end{pmatrix}$$

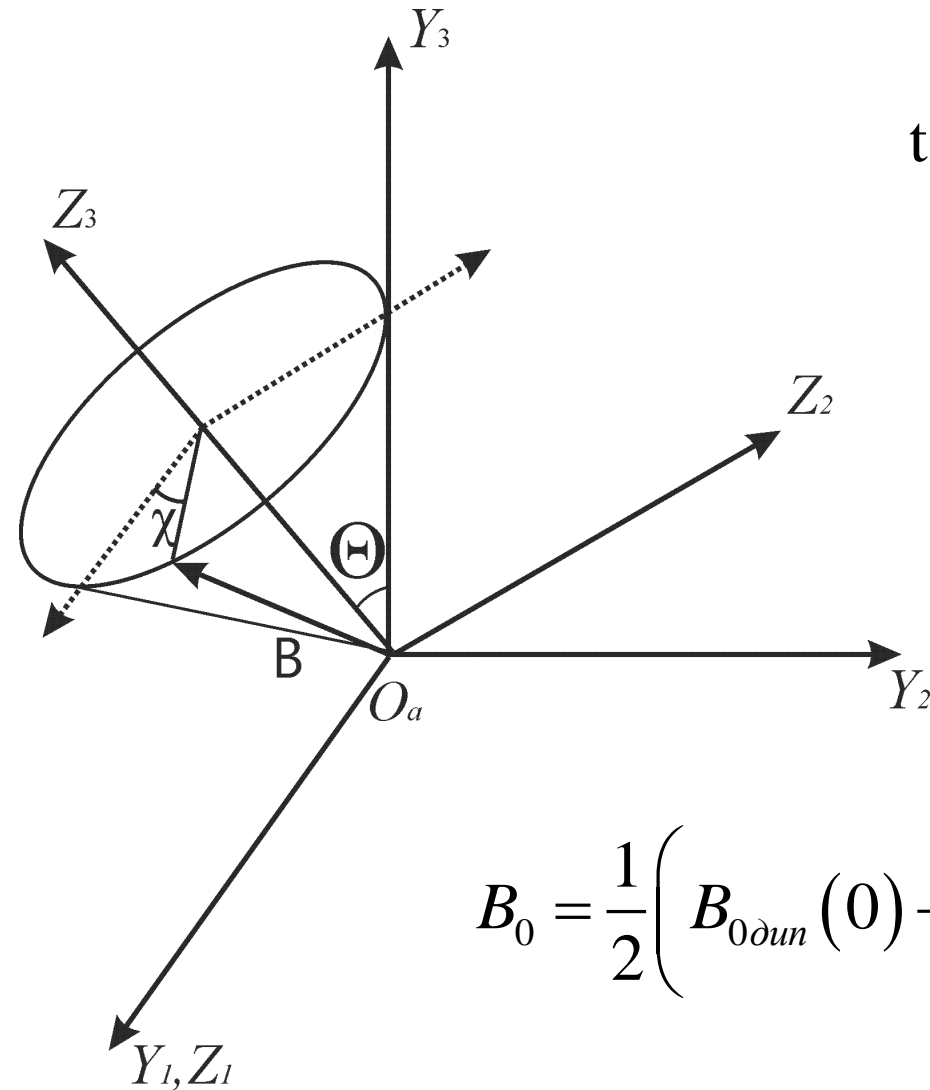
$$\lambda = \omega_3 t + \lambda_0, \quad \mu_e = 7.812 \cdot 10^6 \text{ км}^3 \cdot \text{кг} \cdot \text{с}^{-2} \cdot \text{А}^{-1}$$

$\omega_3$  – угловая скорость вращения Земли

$$\xi = \cos u \sin \delta \sin \lambda - \sin u \cos i \sin \delta \cos \lambda + \sin u \cos \delta \sin i$$

# Осредненная модель

вектор индукции имеет постоянную длину и равномерно движется по поверхности кругового конуса

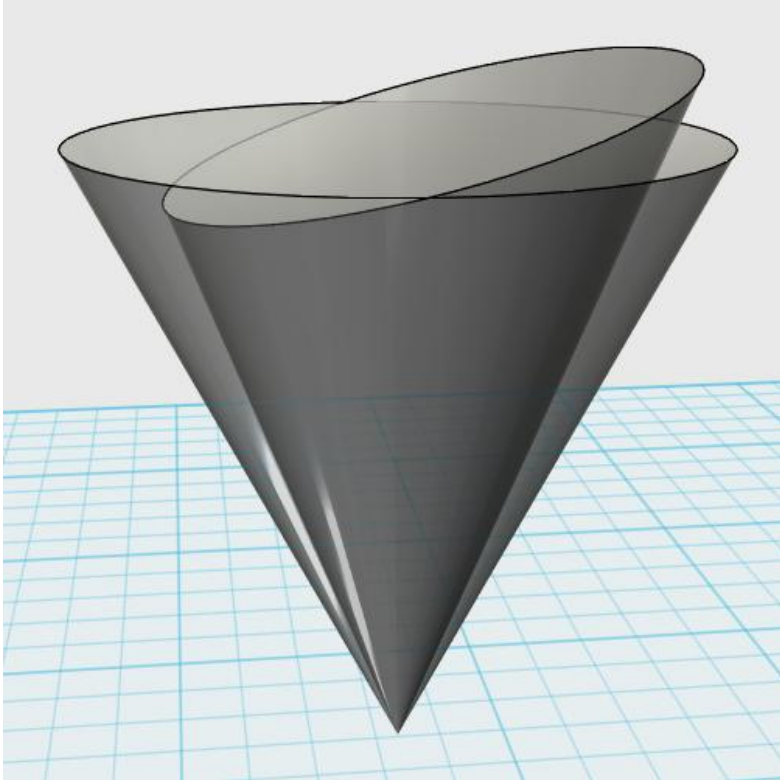


$$\operatorname{tg} \Theta = \frac{3 \sin 2i}{2 \left( 1 - 3 \sin^2 i + \sqrt{1 + 3 \sin^2 i} \right)}$$

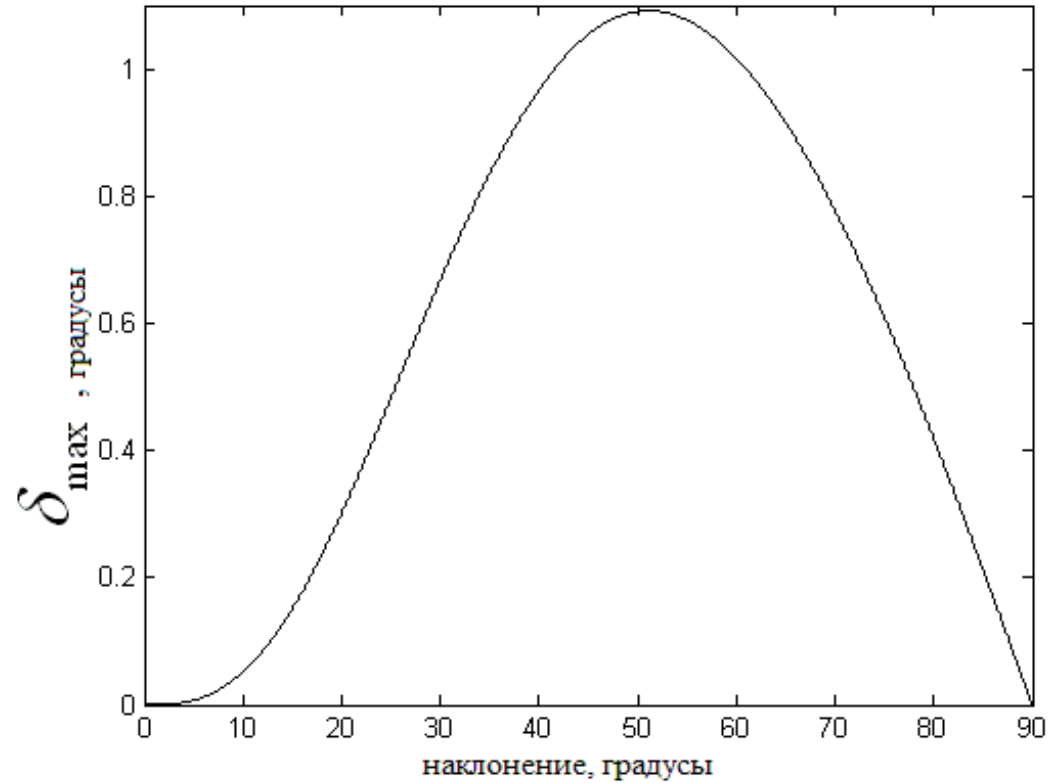
$$\mathbf{B}_{ИСК} = B_0 \begin{pmatrix} -\sin \Theta \sin(2u + \chi_0) \\ \sin \Theta \cos(2u + \chi_0) \\ \cos \Theta \end{pmatrix}$$

$$B_0 = \frac{1}{2} \left( B_{0\text{дин}}(0) + B_{0\text{дин}}\left(\frac{\pi}{2}\right) \right) = \frac{\mu_e}{2r^3} \left( 1 + \sqrt{1 + 3 \sin^2 i} \right)$$

# Сравнение конусов



Конусы прямого диполя  
и осредненного поля

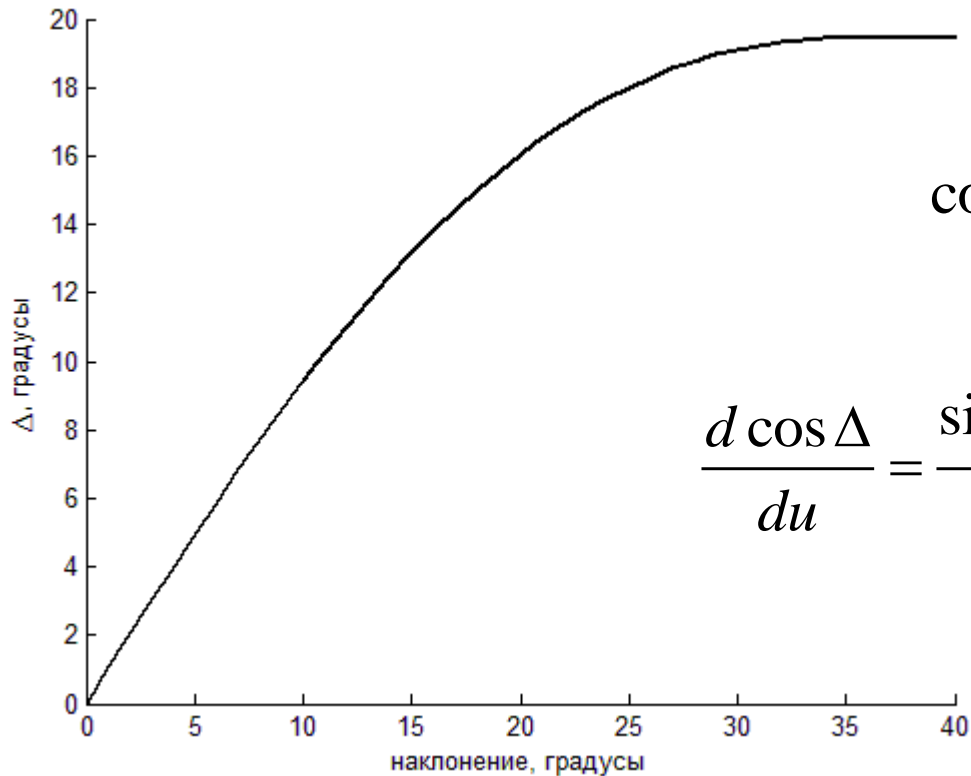


Максимальное отклонение  
вектора геомагнитной индукции  
в дипольной модели от конуса  
осредненной модели



# Сравнение векторов индукции

Максимальное угловое расстояние  $\Delta$  между векторами геомагнитной индукции в модели прямого диполя и осредненной при движении спутника по орбите – до  $19^\circ$



$$\cos \Delta = \frac{1 + \sin^2 i \sin^2 u}{\sqrt{1 + 3 \sin^2 i \sin^2 u}}$$

$$\frac{d \cos \Delta}{du} = \frac{\sin^2 i \sin u \cos u (3 \sin^2 i \sin^2 u - 1)}{(1 + 3 \sin^2 i \sin^2 u)^{\frac{3}{2}}}$$

# Переходные процессы и метод разделения движений

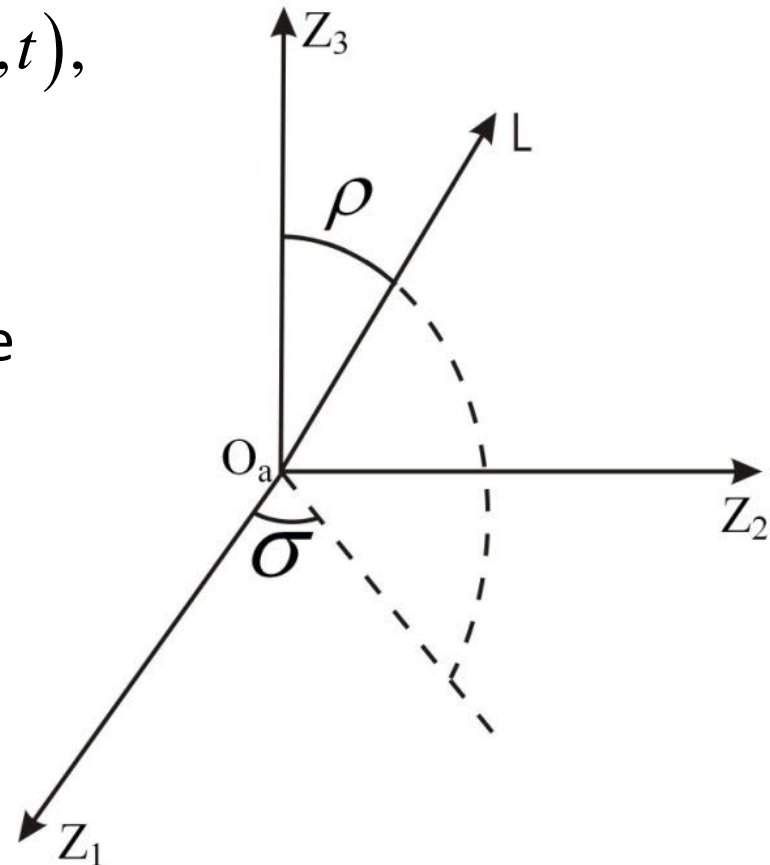
$$\frac{d\mathbf{x}}{dt} = \varepsilon \mathbf{X}(\mathbf{x}, \mathbf{y}, t), \quad \frac{d\mathbf{y}}{dt} = \mathbf{y}_0(\mathbf{x}) + \varepsilon \mathbf{Y}(\mathbf{x}, \mathbf{y}, t),$$

$\mathbf{y} = (\varphi, \psi, u)$  – быстрые переменные,

$\mathbf{x} = (L, \rho, \sigma, \theta)$  – медленные переменные

$L$  – модуль вектора кинетического  
момента,

$\rho, \sigma$  определяют его ориентацию  
относительно любой инерциальной  
системы, например,  $O_a Z_1 Z_2 Z_3$



## *Усредненные уравнения (осредненная модель)*

$$\frac{dl}{du} = -\varepsilon l \left[ 2p + (1 - 3p) \sin^2 \rho \right] \left( \cos^2 \theta + \frac{C}{A} \sin^2 \theta \right)$$

$$\frac{d\rho}{du} = \varepsilon (3p - 1) \sin \rho \cos \rho \left( \cos^2 \theta + \frac{C}{A} \sin^2 \theta \right),$$

$$\frac{d\sigma}{du} = 0,$$

$$\frac{d\theta}{du} = \frac{1}{2} \varepsilon \left( 1 - \frac{C}{A} \right) \left[ 2(1 - p) + (3p - 1) \sin^2 \rho \right] \sin \theta \cos \theta,$$

Существует полный набор первых интегралов в конечном виде

# Усредненные уравнения (прямой диполь)

$$\frac{dl}{du} = -\varepsilon l \left[ \frac{20}{9} a + \sin^2 \rho \left( c - a \cos^2 \sigma - \frac{11}{9} a \sin^2 \sigma \right) + 2d \cos^2 \rho \sin \sigma \cos \sigma \right] \times$$

$$\times \left( \cos^2 \theta + \frac{C}{A} \sin^2 \theta \right),$$

$$\frac{d\rho}{du} = \varepsilon \left[ \left( \frac{11}{9} a \sin^2 \sigma + a \cos^2 \sigma - c \right) \sin \rho \cos \rho - d \sin \sigma \cos 2\rho \right] \left( \cos^2 \theta + \frac{C}{A} \sin^2 \theta \right),$$

$$\frac{d\sigma}{du} = \varepsilon \left[ \frac{2}{9} a \sin \sigma \cos \sigma + d \cos \sigma \operatorname{ctg} \rho \right] \left( \cos^2 \theta + \frac{C}{A} \sin^2 \theta \right),$$

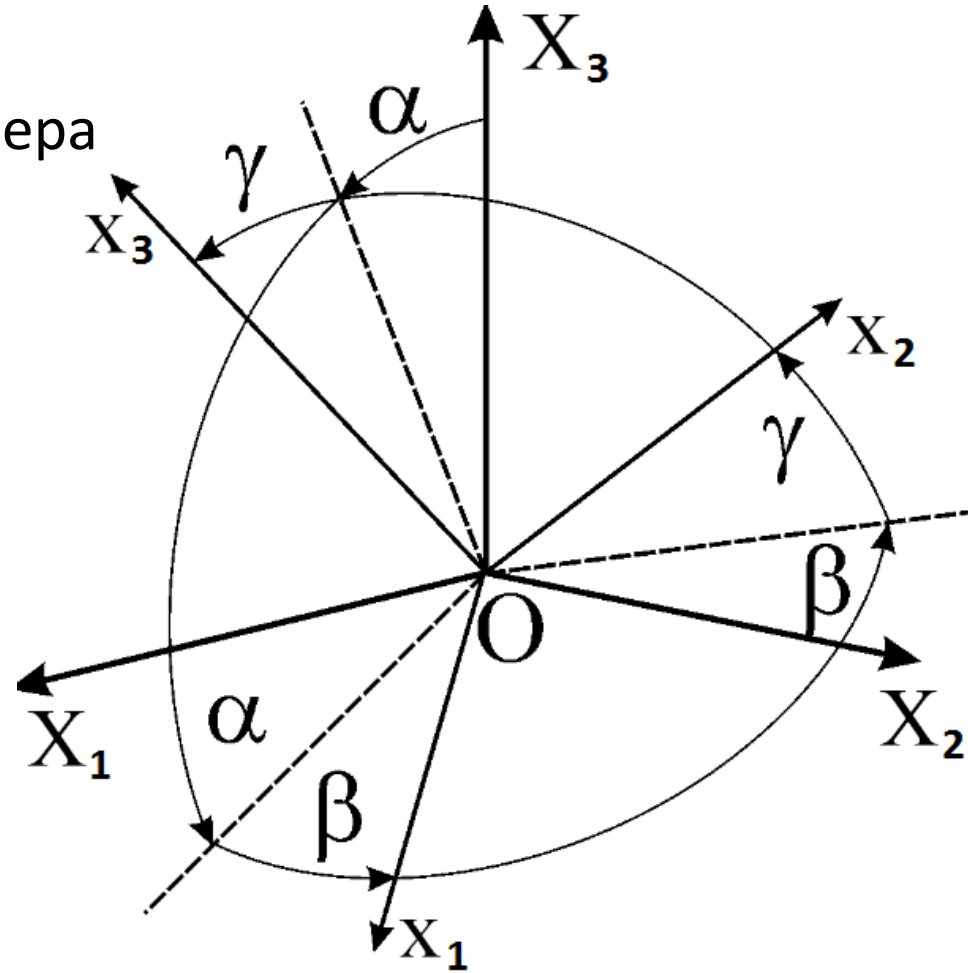
$$\frac{d\theta}{du} = \varepsilon \lambda \left[ \frac{20}{9} a + c \left( 1 + \cos^2 \rho \right) + a \sin^2 \rho \left( \cos^2 \sigma + \frac{11}{9} \sin^2 \sigma \right) + 2d \sin \rho \cos \rho \sin \sigma \right] \times$$

$$\times \sin \theta \cos \theta.$$

В случае прямого диполя можно найти лишь некоторые первые интегралы, причем только в виде квадратур

# Установившееся движение

- Используются уравнения Эйлера и самолетные углы
- Осредненная модель и прямой диполь допускают плоское движение
  - полярная орбита
  - постоянный магнит
- Пространственное движение
  - тангажный маховик
  - магнитное демпфирование



# Уравнение плоского движения

$$\Delta\ddot{\beta} + \Delta\beta(\lambda^2 + \varepsilon \cos 2u) = -\frac{\varepsilon}{2} \sin 2u \quad (\text{осредненная модель})$$

$$\Delta\ddot{\beta} + \Delta\beta\left(\frac{3\lambda^2}{2} + \frac{2\varepsilon - \lambda^2}{2} \cos 2u\right) = \frac{\lambda^2 - \varepsilon}{2} \sin 2u \quad (\text{прямой диполь})$$

Характеристическое уравнение:

$$\Delta\dot{\beta} = z,$$

$$\rho^2 - 2A\left(\lambda, \frac{\varepsilon}{\lambda^2}\right)\rho + 1 = 0,$$

$$\dot{z} = -\lambda^2\left(1 + \frac{\varepsilon}{\lambda^2} \cos 2u\right)\Delta\beta.$$

$$\rho\left(\lambda, \frac{\varepsilon}{\lambda^2}\right) = A \pm \sqrt{A^2 - 1}.$$

Границы областей устойчивости и неустойчивости:

$$A\left(\lambda, \frac{\varepsilon}{\lambda^2}\right) = +1, \quad A\left(\lambda, \frac{\varepsilon}{\lambda^2}\right) = -1.$$

# Области неустойчивости

1) для осредненной модели

$$1 - \frac{\varepsilon}{2\lambda^2} + \frac{7}{32} \left( \frac{\varepsilon}{\lambda^2} \right)^2 + \dots \leq \lambda^2 \leq 1 + \frac{\varepsilon}{2\lambda^2} + \frac{7}{32} \left( \frac{\varepsilon}{\lambda^2} \right)^2 + \dots$$

Области неустойчивости нет, если  $\frac{\varepsilon}{\lambda^2} = \frac{3(A-B)\omega_0^2}{mB_0} = 0$ ,  
т.е. спутник заведомо отслеживает направление вектора  
индукции при отсутствии гравитационного момента

2) для прямого диполя

$$1 - \frac{2\varepsilon - \lambda^2}{6\lambda^2} + \frac{7}{32} \left( \frac{2\varepsilon - \lambda^2}{3\lambda^2} \right)^2 + \dots \leq \lambda^2 \leq 1 + \frac{2\varepsilon - \lambda^2}{6\lambda^2} + \frac{7}{32} \left( \frac{2\varepsilon - \lambda^2}{3\lambda^2} \right)^2 + \dots$$

Области неустойчивости нет при  $\frac{2\varepsilon - \lambda^2}{3\lambda^2} = \frac{2|A-B|\omega_0^2}{mB_0} - \frac{1}{3} \leq 0$ ,  
отслеживание вектора, если гравитационный момент мал по  
сравнению с магнитным.

# Метод Пуанкаре

Уравнения движения представляем в виде

$$\frac{d\mathbf{x}}{du} = \mathbf{f}(\mathbf{x}) + \varepsilon \mathbf{g}(\mathbf{x}), \quad \text{где } \mathbf{x} = (\omega_1, \omega_2, \omega_3, \alpha, \beta, \gamma),$$

$\mathbf{f}(\mathbf{x})$  – момент гравитационных и гироскопических сил;

$\varepsilon \mathbf{g}$  – момент сил, создаваемых за счет действия МСО;

$\varepsilon$  – малый параметр.

$$\frac{d\mathbf{x}_0}{du} + \varepsilon \frac{d\mathbf{x}_1}{du} = \mathbf{f}(\mathbf{x}_0) + \varepsilon (\mathbf{F}(\mathbf{x}_0)\mathbf{x}_1 + \mathbf{g}(\mathbf{x}_0)) + O(\varepsilon^2),$$

$\mathbf{F}(\mathbf{x}_0)$  – матрица Якоби



# Уравнения первого приближения (прямой диполь)

$$\frac{d\omega_1}{du} = -\theta_A \omega_2 + \frac{k}{A\omega_0} \left( \frac{\mu_e}{r^3} \right)^2 \sin u \sin i \cos i,$$

$$\frac{d\omega_2}{du} = \theta_B \omega_1 - 3\lambda_B \alpha - \frac{k}{B\omega_0} \left( \frac{\mu_e}{r^3} \right)^2 2 \cos u \sin i \cos i,$$

$$\frac{d\alpha}{du} = \omega_2 - \gamma,$$

$$\frac{d\gamma}{du} = \omega_1 + \alpha.$$

$$\frac{d\omega_3}{du} = 3\lambda_C \beta + \frac{k}{C\omega_0} \left( \frac{\mu_e}{r^3} \right)^2 2 \sin^2 i,$$

$$\frac{d\beta}{du} = \omega_3,$$

Движение в плоскости орбиты



$$\beta_{\text{общ}} = C_1 \cos \sqrt{3\lambda_C} u + C_2 \sin \sqrt{3\lambda_C} u$$



$$\beta_{\text{част}} = -\frac{k}{3\lambda_C C \omega_0} \left( \frac{\mu_e}{r^3} \right)^2 2 \sin^2 i$$

# Сравнение (полярная орбита)

осредненная модель

$$\frac{d\omega_3}{du} = 3\lambda_c\beta + \frac{k}{C\omega_0} B_0^2,$$

$$\frac{d\beta}{du} = \omega_3.$$

прямой диполь

$$\frac{d\omega_3}{du} = 3\lambda_c\beta + \frac{k}{C\omega_0} \left(\frac{\mu_e}{r^3}\right)^2 2\sin^2 i,$$

$$\frac{d\beta}{du} = \omega_3.$$

Частное решение:

$$\beta = -\frac{3}{4} \frac{k}{C\lambda_c\omega_0} \left(\frac{\mu_e}{r^3}\right)^2$$

$$\beta = -\frac{2}{3} \frac{k}{C\lambda_c\omega_0} \left(\frac{\mu_e}{r^3}\right)^2$$

# Заключение

Описаны модели геомагнитного поля

Получены уравнения движения и исследованы их решения

- в случае переходных процессов
  - ✓ Получение полного набора первых интегралов усредненных уравнений движения в конечном виде возможно только при использовании осредненной модели.
- в случае установившегося движения
  - ✓ В случае плоского движения исследованы области неустойчивости и показано, что модель прямого диполя позволяет получить более точную как качественно, так и количественно картину поведения динамической системы.
  - ✓ Для определения точности достижения стационарного решения при использовании магнитной системы лучше использовать прямой диполь, так как он дает более точную оценку ошибки ориентации.